

This article presents a procedure of temperature fields calculation as well as of thermal tensions and deformation while heating complete and hollow cylinders at Dneprovskiy Metallurgical Works.

**В. И. ГУБИНСКИЙ, НАЦИОНАЛЬНАЯ
МЕТАЛЛУРГИЧЕСКАЯ АКАДЕМИЯ УКРАИНЫ,
В. И. ТИМОШПОЛЬСКИЙ, БГПА,
О. В. ДУБИНА, ГОСУДАРСТВЕННЫЙ ГОРНОМЕТАЛЛУРГИЧЕСКИЙ
КОМБИНАТ "КРИВОРОЖСТАЛЬ", С. М. КОЗЛОВ, БГПА,
В. Е. РОТЕНБЕРГ, ВИТЕБСКИЙ ГОСУДАРСТВЕННЫЙ
ТЕХНОЛОГИЧЕСКИЙ УНИВЕРСИТЕТ**

РАСЧЕТ ТЕМПЕРАТУРНЫХ ПОЛЕЙ И ТЕРМОНАПРЯЖЕНИЙ В ЦИЛИНДРИЧЕСКОЙ ЗАГОТОВКЕ ПРИ ОСЕСИММЕТРИЧНОМ НАГРЕВЕ

УДК 669.041.001.24

Интенсификация процессов тепловой обработки и повышение качества металлопродукции в осепрокатном и трубопрокатном производстве требует детального исследования сопутствующих тепловых и термомеханических явлений. В Белорусской государственной политехнической академии развиваются методы расчета температурных полей и термических напряжений, базирующиеся на использовании приближенных [1–3] и численных [4] методов решения исходной задачи теплопроводности и термомеханики.

В данной работе приведена методика расчета температурных полей, термических напряжений и деформаций при нагреве сплошных и полых цилиндров на примере осепрокатного производства Днепровского металлургического комбината им. Ф. Э. Дзержинского (ДМК). Учитывая результаты проведенных ранее промышленных экспериментов на кольцевых печах стана 250 ДМК [5, 6], представляется возможным с достаточной точностью для проведения расчетов принять модель осесимметричного нагрева сплошного кругового цилиндра:

$$c(T)\rho(T)\frac{\partial T}{\partial t} = \lambda(T)\left(\frac{\partial^2 T}{\partial r^2} + \frac{1}{r}\frac{\partial T}{\partial r}\right) + \frac{\partial \lambda}{\partial r}\frac{\partial T}{\partial r}, \quad (1)$$

$$\lambda(T)\frac{\partial T(R,t)}{\partial r} = \alpha_{\Sigma}(T_{\text{пч}}(t) - T(R,t)), \quad (2)$$

$$T(r,0) = T_0(r), \quad (3)$$

где $T(r, t)$ — температура металла на расстоянии r от оси слитка в момент времени t ; $c(T)$, $\rho(T)$, $\lambda(T)$ — соответственно теплоемкость, плотность и теплопроводность стали при температуре T ; R — радиус цилиндра; $T_{\text{пч}}(t)$ — температура печи в момент времени t ; $T_0(r)$ — распределение температурного поля по сечению заготовки в начальный момент времени;

$$\alpha_{\Sigma} = \alpha_{\text{луч}} + \alpha_{\text{конв}}; \quad \alpha_{\text{луч}} = \sigma \frac{T_{\text{пч}}^4(t) - T^4(R,t)}{T_{\text{пч}}(t) - T(R,t)},$$

$\alpha_{\text{конв}}$ — коэффициент конвективного теплообмена; σ — коэффициент лучистого теплообмена.

Переменность теплофизических свойств учитывали с помощью формул, приведенных в работе [7].

Решение математической модели нагрева (1)–(3) осуществляли методом сеток с использованием абсолютно устойчивой явной схемы (метод Дюфора–Франкела).

В соответствии с основной идеей метода дифференциальное уравнение (1) запишем в виде

$$T_{i,k+1} = \frac{v - a_{i,k}/a_0}{v + a_{i,k}/a_0} T_{i,k-1} + \frac{a_{i,k}/a_0}{v + a_{i,k}/a_0} \left[\left(1 + \frac{\lambda_{i+1,k} - \lambda_{i-1,k}}{4\lambda_{i,k}} + \frac{\Delta r}{2r_i} \right) T_{i+1,k} + \left(1 - \frac{\lambda_{i+1,k} - \lambda_{i-1,k}}{4\lambda_{i,k}} - \frac{\Delta r}{2r_i} \right) T_{i-1,k} \right],$$

где $v = \frac{\Delta r^2}{2a_0\Delta t}$; $a_0 = a_{T-T_0} = \text{const}$, $i=1, N$.

Для осевого слоя имеем

$$T_{0,k+1} = T_{0,k} + \frac{2a_{0,k}/a_0}{v} [T_{1,k} - T_{0,k}].$$

Данные расчетные уравнения позволяют получить значение температурного поля на каждом слое цилиндра в момент времени $(k+1)\Delta t$ по известным значениям температур в моменты времени $k\Delta t$ и $(k-1)\Delta t$. В начальный момент времени полагаем $T_{i-1} = T_{i,0}$.

Граничные условия учитывались путем введения фиктивного полуслоя у нагреваемой поверхности тела. Поверхность тела размещалась посередине последнего слоя сечения

$$T_{\text{пов}} = (T_N + T_\Phi)/2,$$

где T_Φ — температура фиктивного полуслоя.

Формула для нахождения величины T_Φ методом последовательных приближений имеет вид:

$$T_\Phi^{(m+1)} = T_\Phi^{(m)} - \frac{\frac{\lambda}{\Delta r} (T_\Phi - T_N) - \sigma [T_{\text{пч}}^4 - \frac{1}{16} (T_\Phi + T_N)^4] - \alpha_{\text{конв}} [T_{\text{пч}} - \frac{1}{2} (T_\Phi + T_N)]}{\frac{\lambda}{\Delta r} + \frac{1}{2} \alpha_{\text{конв}} + \frac{\sigma}{4} (T_\Phi + T_N)^3}.$$

Исходное приближение $T_\Phi^{(0)}$ можно определить по формуле:

$$T_\Phi^{(0)} = \frac{\left(1 - \frac{\alpha_{\text{конв}} \Delta x}{2\lambda}\right) T_N + \frac{\alpha_{\text{конв}} \Delta x}{\lambda} T_{\text{пч}}}{1 + \alpha_{\text{конв}} \Delta r / 2\lambda}$$

при температуре металла в начале временного интервала.

Термические напряжения в сечении сплошного цилиндра в любой точке (кроме осевого слоя) по известной температуре рассчитывались с помощью выражений [8]:

радиальные

$$\sigma_r(r) = E \left[-\frac{1}{r^2(1-\nu)} \int_0^r \alpha T(x) x dx + A \right], \quad (4)$$

тангенциальные

$$\sigma_\varphi(r) = E \left[-\frac{1}{r^2(1-\nu)} \int_0^r \alpha T(x) x dx - \frac{\alpha T(r)}{1-\nu} + A \right], \quad (5)$$

осевые

$$\sigma_z(r) = E \left[-\frac{\alpha T(r)}{1-\nu} + 2A \right]. \quad (6)$$

Для осевого слоя выражения (4)–(6) примут вид

$$\sigma_r(0) = E \left[-\frac{1}{(1-\nu)} \cdot \frac{\alpha T(0)}{2} + A \right], \quad \sigma_\varphi(0) = \sigma_r(0), \quad \sigma_z(0) = 2\sigma_r(0),$$

где $A = \frac{1}{R^2(1-\nu)} \int_0^R \alpha T(x) x dx$; $\alpha = \alpha(T)$ — коэффициент линейного расширения; ν — коэффициент Пуассона (принимается $\nu = 0,3$); E — модуль Юнга.

Интенсивность напряжений можно рассчитать по выражению

$$\sigma_{\text{и}}(r) = \frac{1}{\sqrt{2}} \sqrt{(\sigma_r(r) - \sigma_\varphi(r))^2 + (\sigma_\varphi(r) - \sigma_z(r))^2 + (\sigma_r(r) - \sigma_z(r))^2}.$$

В случае нагрева полого цилиндра исходная задача теплопроводности описывается дифференциальным уравнением (1) со следующими краевыми условиями:

$$\lambda(T) \frac{\partial T(R_1, t)}{\partial r} = 0, \quad (7)$$

$$\lambda(T) \frac{\partial T(R_2, t)}{\partial r} = \alpha_\Sigma (T_{\text{пч}}(t) - T(R_2, t)), \quad (8)$$

$$T(r, 0) = T_0(r), \quad (9)$$

где R_1, R_2 — соответственно внутренний и внешний радиусы полого цилиндра. Остальные обозначения те же. Упругие деформации по сечению полого цилиндра определяются так [8]:

радиальные

$$\varepsilon_r(r) = -\frac{1}{r^2(1-\nu)} \int_{R_1}^r \alpha T(x) x dx + A - \frac{B}{r^2}, \quad (10)$$

тангенциальные

$$\varepsilon_\varphi(r) = -\frac{1}{r^2(1-\nu)} \int_{R_1}^r \alpha T(x) x dx - \frac{\alpha T(r)}{1-\nu} + A + \frac{B}{r^2}, \quad (11)$$

осевые

$$\varepsilon_z(r) = -\frac{\alpha T(r)}{1-\nu} + 2A, \quad (12)$$

где $A = \frac{1}{(R_2^2 - R_1^2)(1-\nu)} \int_{R_1}^{R_2} \alpha T(x) x dx$; $B = R_1^2 A$.

Выражения для определения термических напряжений имеют вид

$$\sigma_r(r) = E\varepsilon_r(r), \quad (13)$$

$$\sigma_\varphi(r) = E\varepsilon_\varphi(r), \quad (14)$$

$$\sigma_z(r) = E\varepsilon_z(r). \quad (15)$$

Интенсивность деформаций и напряжений можно рассчитать с помощью выражений:

$$\varepsilon_{ин}(r) = \frac{1}{\sqrt{2}} \sqrt{(\varepsilon_r(r) - \varepsilon_\varphi(r))^2 + (\varepsilon_\varphi(r) - \varepsilon_z(r))^2 + (\varepsilon_r(r) - \varepsilon_z(r))^2}, \quad (16)$$

$$\sigma_{ин}(r) = \frac{1}{\sqrt{2}} \sqrt{(\sigma_r(r) - \sigma_\varphi(r))^2 + (\sigma_\varphi(r) - \sigma_z(r))^2 + (\sigma_r(r) - \sigma_z(r))^2}. \quad (17)$$

С целью проверки адекватности и надежности приведенных математических моделей осуществили параметрическую идентификацию по результатам промышленных экспериментов при нагреве сплошных и полых катаных осей, проведенных в условиях кольцевых печей нагрева и термообработки осепрокатного стана 250 ДМК.

Результаты сравнения экспериментальных и расчетных данных приведены на рис.1, из которого очевидна удовлетворительная сходимость. Максимальное расхождение расчетных и экспериментальных термомограмм в случае нагрева цилиндрической заготовки диаметром 0,23 м составляет 3 % и наблюдается в области фазовых переходов (рис. 1, а). При нагреве полых катаных осей (полый цилиндр) расхождение составляет 5 % (рис. 1, б).

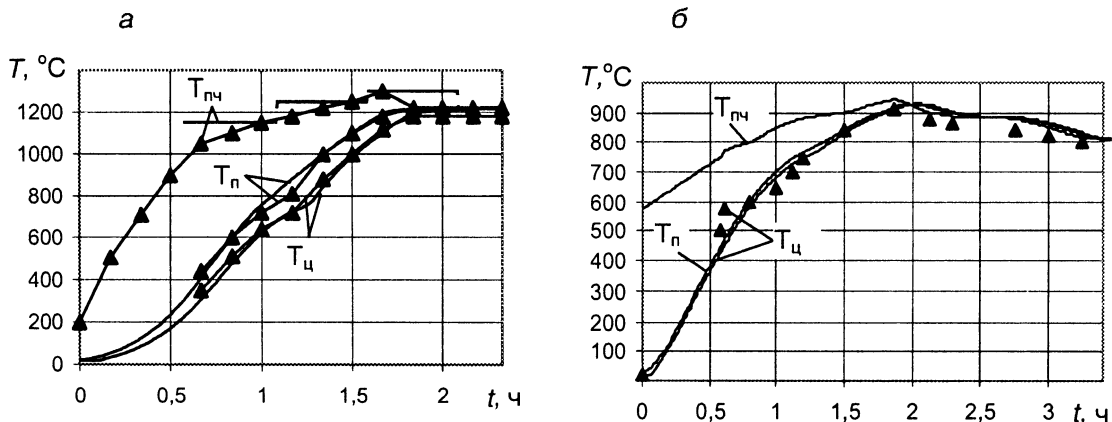


Рис. 1. Сравнение расчетных (—) и экспериментальных (▲) температур при нагреве сплошного (а) и полого (б) цилиндров в кольцевой печи ДМК

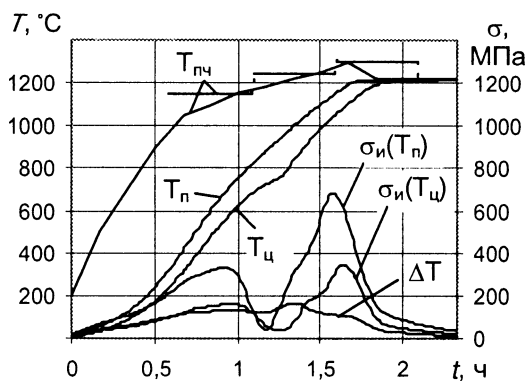


Рис. 2. Динамика температурных полей и интенсивности термических напряжений в процессе нагрева цилиндрической заготовки диаметром 0,23 м

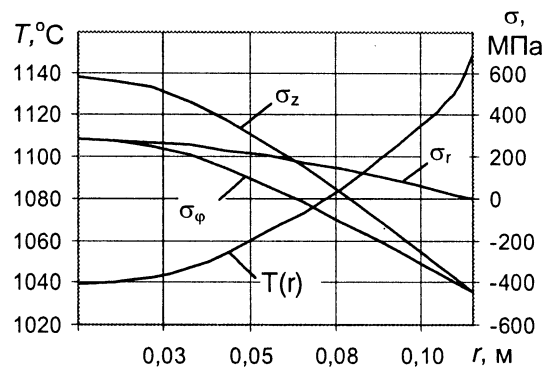


Рис. 3. Распределение температур и термических напряжений по сечению цилиндрической заготовки диаметром 0,23 м

В дальнейшем математическая модель (1)–(17) использована при исследовании термодформационных явлений при тепловой обработке сплошных и полых катаных осей железнодорожного транспорта. Результаты расчета интенсивности температурных напряжений во времени при нагреве цилиндрической заготовки диаметром 0,23 м приведены на рис. 2. Из рисунка видно, что максимальной интенсивности напряжения достигают в конце сварочной зоны ($\tau = 1,58$ ч). Существенное понижение интенсивности температурных напряжений в области фазового перехода, а затем резкий рост наблюдается в случае, когда коэффициент линейного расширения рассчитывался в зависимости от температуры металла. При постоянном усредненном значении коэффициента линейного расширения подобных провалов не наблюдается, а характер изменения интенсивности термонапряжений соответствует динамике температурного перепада между поверхностью и центром заготовки. В таком случае максимальное значение интенсивности температурных напряжений оказывается заниженным. На рис. 3 показаны данные расчета температур и термонапряжений по сечению заготовки в момент максимальной интенсивности напряжений. Легко видеть, что на поверхности заготовки возникают сжимающие напряжения, а в центре заготовки растягивающие осевые напряжения достигают существенной величины (≈ 600 МПа), что с учетом остаточных напряжений, возникающих в процессе предыдущего теплового нагружения, может привести к нарушению сплошности металла.

Анализ результатов показывает, что возникающие в процессе нагрева температурные напряжения превышают предел текучести металла. Следовательно, необходим переход от упругой постановки задачи к расчету упругопластических напряжений и деформаций.

При нагреве полый катаной оси термические напряжения достигают своей максимальной величины в конце инерционного этапа. Распределение температур, радиальных, тангенциальных и осевых термических напряжений и интенсивности напряжений по сечению полый заготовки в момент наступления регулярного этапа приведено на рис. 4.

Разработанный авторами метод расчета температур и термонапряжений представляется целесообразным использовать для анализа влияния различных факторов на величины температурных напряжений и деформаций.

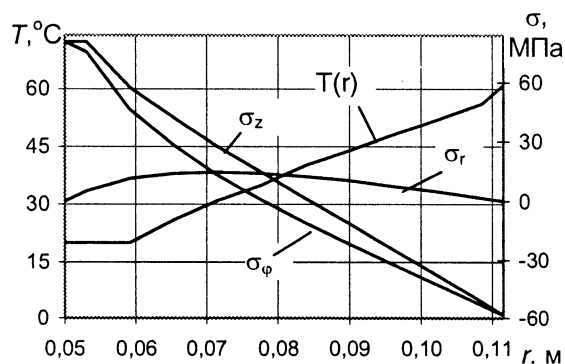


Рис. 4. Распределение температур и термических напряжений по сечению полый цилиндрической заготовки

Литература

1. Тимошпольский В. И., Трусова И. А., Гурвич Э. А. и др. Расчет упругопластических температурных напряжений при нагреве цилиндрических слитков и заготовок перед прокаткой // *Металлургия*. Сб. науч. тр. 1988. № 22. С. 117–120.
2. Тимошпольский В. И., Ковалевский В. Б., Трусова И. А. и др. Управление режимом нагрева массивного цилиндра с учетом ограничений на упругопластические температурные напряжения // *Изв. вузов. Энергетика*. 1987. № 9. С. 81–86.
3. Степаненко А. В., Тимошпольский В. И., Трусова И. А. и др. Пластическая деформация в процессе тепловой обработки заготовок из осевой стали // *Металлургия*. Сб. науч. тр. 1987. № 21. С. 3–6.
4. Тимошпольский В. И., Трусова И. А., Малькевич Н. Г. и др. Тепловые и термодформационные процессы в цилиндрическом осевом слитке при нагревании перед прошивкой // *Изв. вузов. Энергетика*. 1992. № 11–12. С. 104–107.
5. Гольдфарб Э. М., Тимошпольский В. И., Постольник Ю. С. и др. Усовершенствование режима нагрева осевых заготовок в кольцевой печи // *Сталь*. 1978. № 9. С. 866–868.
6. Тимошпольский В. И., Трусова И. А., Пекарский М. Я. Кольцевые печи: теория и расчет. Мн.: Выш.шк., 1993.
7. Маковский В. А. Эмпирические формулы для выражения температурной зависимости теплофизических свойств стали // *Сталь*. 1972. № 1. С. 87–89.
8. Тимошенко С. П., Гудьер Дж. Теория упругости: Пер. с англ. М.: Наука, 1975.